

II-71 分級作用を伴う河床変動(第2報)

九州大学 工学部 正員 平野宗夫

まえがき

混合砂礫河床にありては、流水によるふるい分け作用により河床砂の粒度構成が変化する場合が多くなる。又下流などにあけた armorizing はその代表的な例²⁾。Garde and Ibaran¹⁾, 河村²⁾, Geesler³⁾, 芦田および道上⁴⁾などの研究がある。しかし、それらはいずれも最終状態を対象としており、粒度分布の時間的変動には殆んど触れていない。筆者は前報^{5), 6)}にありて、混合砂礫河床にあけた粒度分布変動の式を導いた。疑似等流を仮定して下流における armorizing の計算に適用した。本報では、前報で求めた式を用いた一般的な場合の計算法と計算例を示すとともに、単純化した条件に対して計算を行ひ、分級作用を規定する parameter について検討を行なつてゐる。

1. 基礎式

通常の河床変動計算にありては、不等流の式、流砂量の式および河床の連続の式が用いられる。分級作用を考慮の場合にはこれらの式の他に粒度分布の変化を規定する式が必要であり、流砂量の式として粒径別流砂量を与える式を用ひねばならない。これらの式を別擧すると次のようである。

(1) 不等流の式：通常用いられる記号を用ひて表わすと

$$\frac{\partial h}{\partial x} + \frac{\partial z}{\partial x} + \frac{\partial}{\partial x} \left(\frac{v^2}{2g} \right) + \frac{u_*^2}{gh} = 0 \quad \dots \dots \dots \quad (1)$$

(2) 粒径別流砂量：前報⁶⁾と同様、佐藤・吉川・芦田公式に粒径別限界掃流力に関する Egiaganoff⁷⁾の式を併用す。 $\frac{i_b f_B}{u_* d_i} = i_b K \frac{u_*^2}{(\rho/\rho-1) g d_i} f\left(\frac{4c_i}{4i}\right) \quad \dots \dots \dots \quad (2)$

ここに、 i_b および f_B ：それぞれある粒径範囲の砂の流砂中における占められた割合、 $4c_i = u_*^2 c_i / (\rho/\rho-1) g d_i$ 、 $4i = u_*^2 / (\rho/\rho-1) g d_i$ 、 $u_* c_i$ ：粒径 d_i の砂の限界摩擦速度、 d_i ：ある粒径範囲の砂の平均粒径、 K ：流砂量式の定数(筆者⁵⁾より芦田⁵⁾データによれば $K=4$)

粒径別限界掃流力の式として Egiaganoff の式

$$f_i = \frac{4c_i}{4cm} = \left(\frac{\log 19}{\log 19 \times \frac{d_i}{d_m}} \right)^2 \quad \dots \dots \dots \quad (3)$$

$$= 12, \quad 4cm = u_*^2 cm / (\rho/\rho-1) g dm$$

d_m : 平均粒径、 $u_* cm$: dm における限界摩擦速度

を用ひるが、上式は d_i/d_m があまり小さくないときに適用できるので(例えば、 $d_i/d_m = 1/19$ のとき $f_i = \infty$)、 $d_i/d_m < 0.4$ に対しては $u_* c_i$ と $12 d_i/d_m = 0.4$ に対する値を用いた。すなはち、

$$f_i = \left(\frac{\log 19}{\log 19 \times 0.4} \right)^2 \frac{d_m}{d_i}, \quad (d_i/d_m \leq 0.4) \quad \dots \dots \dots \quad (4)$$

(3) 河床および粒度分布の連続の式：前報で求めた式は次のとおりである。

$$\text{河床上昇: } \frac{\partial z}{\partial t} = -\frac{1}{(1-\lambda)B} \frac{\partial (f_B \cdot B)}{\partial x} + \frac{\lambda}{1-\lambda} \frac{\partial \lambda}{\partial t} \quad \dots \dots \dots \quad (5)$$

$$\frac{\partial i_b}{\partial t} = -\frac{1}{\lambda B (1-\lambda)} \left\{ \frac{\partial (i_b f_B \cdot B)}{\partial x} - i_b \frac{\partial (f_B \cdot B)}{\partial x} \right\} \quad \dots \dots \dots \quad (6)$$

$$\text{河床低下: } \frac{\partial z}{\partial t} = - \frac{1}{(1-\lambda_0)B} \frac{\partial (g_{0B} - B)}{\partial x} + \frac{1}{(1-\lambda_0)} \left\{ a \frac{\partial \lambda}{\partial t} + (\lambda - \lambda_0) \frac{\partial a}{\partial t} \right\} \quad \dots \dots \dots \quad (7)$$

$$\frac{\partial \dot{i}_b}{\partial t} = -\frac{1}{ab(1-\lambda)} \left\{ \frac{\partial (i_b \frac{\partial g_0 - B}{\partial x})}{\partial x} + i_{bo} \frac{\partial (B_0 - B)}{\partial x} \right\} + (i_b - i_{bo}) \left(\frac{1}{1-\lambda} \frac{\partial \lambda}{\partial t} - \frac{1}{a} \frac{\partial a}{\partial t} \right) \dots \dots \dots (8)$$

ニニに、 γ : 河床高、 B : 河幅、 a : 交換層(armoring の場合は armor coat と同じ)の厚さ、入水孔心入: それが水交換層以下心入の直下の河床砂の空隙率、 b_{so} : 交換層直下の河床砂中に、ある粒径範囲の砂が占める割合 (%)

2. 計算式とその特性

上記諸式を次の無次元量, $\xi = x/R_0$, $S = Z/R_0$, $\eta = r/R_0$, $W_B = g_B/g_{B0}$, $T = g_{B0} \cdot t / (1-\lambda) R_0^2$, $b = B/B_0$, $\alpha = A/A_0$, $F_0^2 = Q^2/g_{B0}R_0^3$, $\varphi = V/U_0$, $I_0 = F_0^2/\varphi^2$ を用いて無次元化す

$$\frac{\partial \eta}{\partial \xi} + \frac{\partial \zeta}{\partial \xi} + F_0 \frac{\partial}{\partial \xi} \left(\frac{1}{2b^2 \eta} \right) + \frac{I_0}{(\eta^2 - b^2)^3} = 0 \quad \dots \dots \quad (9)$$

$$W_B = \frac{1}{\eta^3} \int_{d_{min}/d_0}^{d_{max}/d_0} i_B f\left(\frac{2k_C d}{d_0}\right) d\left(\frac{d}{d_0}\right) \quad \dots \quad (10)$$

$$\frac{4\mu_{cl}}{4\mu_i} = \xi_i \frac{4cm}{4\mu_i} \frac{di}{d_0} \left(\frac{\varphi}{\varphi_0}\right)^2 b^2 \eta^2 \quad \dots \quad (11)$$

$$\alpha \frac{\partial i_B}{\partial T} = (i_B - i_b) \frac{\partial \xi}{\partial T} - w_B \frac{\partial i_B}{\partial \xi}, \quad \left(\frac{\partial \xi}{\partial T} > 0 \right) \dots \quad (13)$$

$$\alpha \frac{\partial i_B}{\partial T} = (i_B - i_{B_0}) \frac{\partial \sigma}{\partial T} - w_B \frac{\partial i_B}{\partial \sigma}, \quad (\frac{\partial \sigma}{\partial T} < 0) \dots \quad (14)$$

とします。但し、 $\partial \chi / \partial t = \partial \alpha / \partial t = 0$, $g_{B0} = K4\pi^3/(9\rho-1)g$,
 添字0は基準点における量を表す。これより、河床変動を規定する parameter は、初期条件ないし境界条件の他に F_0 , I_0 , ρ/ρ_0 , b および $4c/\rho_0$ であることがわかる。
 とくに、分级作用に関する 1 つは初期河床の粒度分布と $4c/\rho_0$ の重要であると思われる。また、式(13), (14) において、
 $\partial S / \partial t$ が大さいと右辺第 1 項が支配的になるとすれば、 $di/dm > 1$ に対する $i_B < i_{B0}$, $di/dm < 1$ に対する $i_B > i_{B0}$ であるが、 $\partial S / \partial t > 0$ のとき粒度は細くなり、 $\partial S / \partial t < 0$ のとき粗くなる傾向があることわかる。また、河床砂の粒度範囲が広いほど i_B と i_{B0} との差が大きくなり分级作用が活かつることも明らかである。

3. 実験値と計算値の比較

実験水路は長さ 15m、幅 60cm で、中流部に幅 40cm
長さ 3m、すり付部上下各 1.5m の狭い部分が設置され

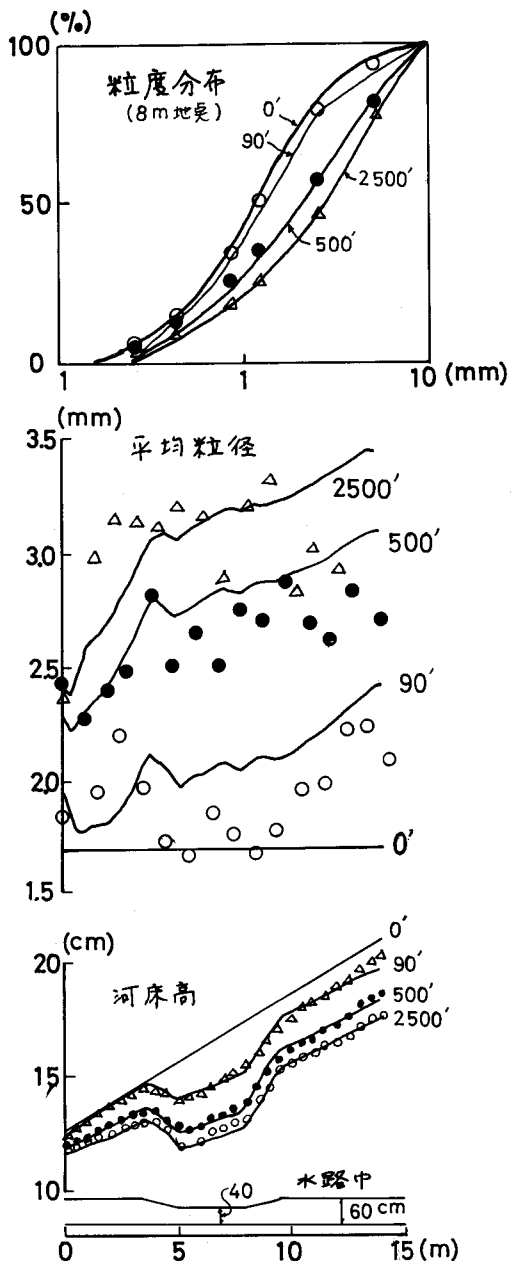


図-1 計算値と実験値の比較

である。用いた河床材料は $d_{50} = 1.20 \text{ mm}$, $d_m = 1.69 \text{ mm}$, $d_{max} = 10 \text{ mm}$, 標準偏差 $\sigma_B = \sqrt{d_{50}/d_m} = 2.66$ の混合砂で、上流端から砂の補給は行なっていしない。従って、河床は次第に低下し $t=5 \text{ armor}$ で $h_c = 0$ となる。計算は $h_0 = 3.8 \text{ cm}$, $I_0 = 0.0060$, $Q = 9.96 \text{ l/s}$, 下流端が水位一定となる条件で行なった。計算値と実験値を比較すると図-1のようになり、かなりよく一致している。

4. 静的平衡河床の分級持性

armorizingに関する従来の研究は最終状態を対象としているので平衡河床における問題を取りあつたものと解される。このうちの場合に対しても前述の計算方法を適用すればよいわけであるが、ここで、現象を規定する parameter について検討するためには条件を单纯化して計算を簡略化することにする。式(12)あるいは(14)を長さ L の対象区间について積分し、区内で d_m と d_{50} が一定であるとして（つまり最も早い段階で、parallel degradation の場合にはこの仮定は妥当である）、かつ、上流端からの砂の供給がない場合には、

$$\frac{ds}{dt'} = -\omega_B \quad \dots \dots \dots (15), \quad \frac{di_b}{dt'} = (i_b - i_B) \frac{\omega_B}{\alpha} \quad \dots \dots \dots (16), \quad \alpha = 12, \quad t' = \frac{q_{B_0} \cdot t}{(1-\lambda) f_0 L}$$

また、対象区间が短かく、かつ、下流端の水位が時間的に変動しない場合には

$$\frac{ds}{dt'} = -\frac{dl}{dt'} (1 - F_0 / f_0) \quad \dots \dots \dots (17) \quad \text{parallel degradation の場合は } \frac{dl}{dt'} = 0 \quad \dots \dots \dots (18)$$

とおりである。これらの式と式(10)あるいは(11)を用いて粒度分布の時間的変動状況を計算できる。その際、基準量として $t=0$ における値を用いれば、初期条件を $t=1$ とする。現象を規定する parameter は $4c/4_0$, F_0 および初期河床の粒度分布の 3つである。次に、これらの parameter が armorizing に及ぼす影響をしづらべよう。

(1) 初期河床の粒度分布：粒度分布を対数正規分布とする。但し、 $d_{max} = \infty$ とする。不都合な因子 $d_{max} = d_{99} \times 1.2 \sim 3$ 。平均粒径 d_{mean} 一定にして、標準偏差 σ_B を種々変化させ式(10), (11), (16)あるいは(17)を用いて計算する。また、静的平衡状態に達するのに理論上無限大の時間が必要であるが、 $t=2$ では $\omega_B = 10^{-7}$ となり、それ以上もって最終状態となる。つまり、この時 $U_*^2/U_*^2 \text{ cm} = 1.9 \sim 2.1$ である。

以上によると計算結果は右図のようである。図によると d_{50} の変化は d_m の変化よりもかなり大きいが、これは小粒径の砂が流失して粒度分布が一様に近くなるためである。²⁾ 図には河村の結果と併せて示す。

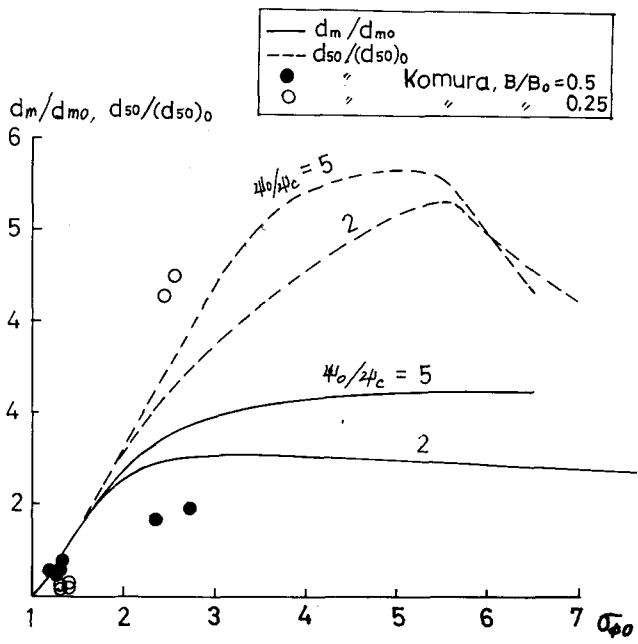


図-2 粒度分布とArmoringの関係

3 実験値も plot されてる。4. の正確な値かわからぬので定量的な比較はできなかつた。傾向はよく一致してゐると言つて可い。また、実験値は輸流の度加强いほど armoring も顕著であるが、これは輸流に伴う 4_b の増大によるものであつた。このようには輸流比 B/B_0 は 4_b を規定するところを B 。 armoring は直接的に関係してゐると考えられる。

(2) 初期掃流力 4_b : $\sigma_{4b} = 3$ とし、 $4_b/4_c$ を変化させて計算を行なうと図-3 のようになり、 dm/dm_0 は $4_b/4_c$ とともに増大するが、 $4_b/4_c$ が大きくなつれで変化は小さくなり、一定に近くなる。これは $4_b/4_c$ が大きくなると式(10)より $f(4c/4_b) \approx 1$ となりふたうに分けが起らなくなつたためである。

なお、フルート数 F_0 についても同様の計算を行なつたが、 $F_0 = 0 \sim 0.7$ の範囲では結果はほとんど同じである。

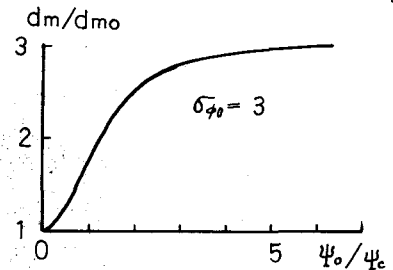


図-3 初期掃流力と
Armoring の関係

5. 動的平衡河床の分級作用

動的平衡河床の条件は $\partial S/\partial t = 0$ および $\partial i_b/\partial t = 0$

$$\text{アリ } \frac{\partial (i_b B_B B)}{\partial x} = 0 \quad \dots \dots \quad (19)$$

従つて、 $\frac{i_b f_i}{i_{b0} f_{i0}} = \left(\frac{\rho_R B}{\rho_0 B_0} \right)^{\frac{1}{2}} \frac{B_0}{B}$, $f_i = f\left(\frac{4c}{4b}\right) \dots (20)$
ここで、添字 0 は基準点における量を表す。上式において、 $i_{b0} = 1$, $f_{i0} = 1$, $\rho_{B0} = (\rho/R_0)^{\frac{1}{2}}$
とすると $(\rho/R_0)^{\frac{1}{2}} (B/B_0)^{\frac{1}{2}} = 1$ となり芦田の導いた式と一致する。式(20), (11) および $\int f_i di_b = 1$, $\int f_i di_b = dm$ エリ。動的平衡河床における水位の粒径はそれを次のようく表わせる。

$$\frac{\rho R}{\rho_0 R_0} = F \left\{ \frac{B}{B_0}, \frac{4_b}{4_c}, i_{b0}(d_i) \right\} \dots \dots (21) \quad \frac{dm}{d_0} = G \left\{ \frac{B}{B_0}, \frac{4_b}{4_c}, i_{b0}(d_i) \right\} \dots \dots (22)$$

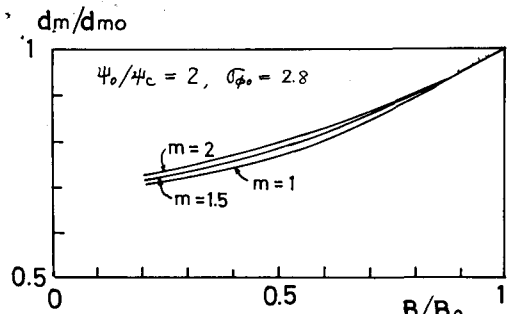


図-4 動的平衡河床の平均粒径

上記の関係エリ數値計算を行なうと図-4 のようになり。予想とは逆に狭さく部では粒径が細かくなつてゐる。なお、流砂量式を $i_b B_B / u_* d_i = i_b K (U_*^2 / (g d_i))^{m-1} f_i$ とおき指数 m を変えて計算を行なつたが、図のようであまり差はない。これは、式(14)において $\partial S/\partial T = 0$ (すなはち右辺第2項が支配的となる)が、狭さく部ではその上流エリ掃流力が大きいため、 $d_i/dm > 1$ の砂の佔はその上流の砂の佔よりも大きくなる ($\partial i_b / \partial x > 0$)、 $d_i/dm < 1$ の砂ではその逆となり、粒度が次第に細かくなることに反するのである。

参考文献

- 1) Gande, R.J. and Idarau, S.M.: An Experimental Investigation of Degradation in Alluvial channels, 12th IAHR (1967)
- 2) 河村三郎: ダム下流流域における河床変動の研究 (BB 44.4)
- 3) Geesler, J: Self-stabilizing Tendencies of Alluvial Channels, proc. of ASCE, Vol 96, WW2 (1970)
- 4) 芦田和男, 道上正親: 混合砂礫の河床変動力, 第15回水理講演会講演集 (BB 44.2)
- 5) 平野宗夫: 脊水地下流の河床変動と Armoring 現象 (BB 44.2)
- 6) 平野宗夫, 鶴謙三: 分級作用とどうする河床変動力, 第25回河川学術講演会講演摘要 (BB 45.11)
- 7) Egozoroff, I.V.: Calculation of Non-uniform Sediment Concentration, proc. of ASCE, Vol 91, HY4 (1965)
- 8) 芦田和男: 断面変化部における河床変動の問題的研究, 京大防災研年報, 第6号 (BB 38.7)